

# 干涉项对 $e^+e^- \rightarrow q\bar{q} + ng$ 两种色连接几率的影响\*

金毅 谢去病 李世渊  
(山东大学物理与微电子学院 济南 250100)

**摘要** 传统高能  $e^+e^- \rightarrow \text{hadrons}$  事例产生器普遍采用大  $N_c$  近似,使色单态链产生几率达到 100% 而色分离态几率为 0. 本文在  $N_c = 3$  的真实情况下,研究了干涉项中颜色部分和动量部分的来源及性质后发现,对  $e^+e^- \rightarrow q\bar{q} + ng$  部分子末态中胶子数 2,3,干涉项使色单态链产生几率进一步下降到 67%,58%,而  $n=2$  时的色分离态几率则增大至不考虑干涉项的 2 倍. 由上推断当胶子数  $n$  更大时色单态链几率将远小于 1,色分离态几率将更显著增加.

**关键词** 颜色数目 色单态链 色分离态 截断 三胶子顶点

## 1 引言

高能  $e^+e^- \rightarrow \text{hadrons}$  的研究,对发展和检验微扰量子色动力学(QCD)和非微扰强子化模型起重要作用. 目前对理论的检验,主要通过事例产生器(如 JETSET、HERWIG 和 ARIADNE 等)给出的描写与实验结果相比较得到. 它们的标准版本都基于大  $N_c$  近似(颜色数  $\rightarrow \infty$ ),对于  $q\bar{q} + ng$  系统,每个胶子都带有一个色和反色,其中任何两个胶子颜色相同的几率为  $1/(N_c^2 - 1) = 0$ ,夸克总可与带有相反色荷的胶子  $g_1$  连接,  $g_1$  的色与带有相反色荷的  $g_2$  相连,……,直到  $g_n$  的色与反夸克的反色相连. 并且已证明,这种近似下每两个胶子间的色弦或集团不仅是色中性,而且是色单态,因此整个部分子系统便连接成惟一的色单态链(Singlet Chain states, 以下用 SC 表示)<sup>[1-3]</sup>. 但对  $N_c = 3$  的真实情况,任何两个胶子颜色相同的几率并不为零,而是 1/8. 因此  $q\bar{q} + ng$  系统必然存在多种色连接方式,特别是有一定的几率形成可独立强子化的几个色单态集团(例如 2 个或 2 个以上的胶子形成色单态,  $q\bar{q}$  与其余胶子连成单态),称为色分离态(Color Separate states, 以下用 CS 表示)<sup>[4]</sup>. 文献[3]的计算表明,不考虑干涉项(确切含义见下节)时,SC 的几率在胶子数为 2 时只有

83%,为 3 时进一步下降到 77%,预示 CS 及其它色连接方式的几率,将随  $n$  增加. 文献[4]则深入研究了构成与性质和 SC 完全不同的 CS,并指出当  $n > 2$  后,CS 的几率并非简单的  $1/(N_c^2 - 1)$ ,而可能随  $n$  的增加变得不容忽略.

判定  $e^+e^- \rightarrow q\bar{q} + ng$  按何种色连接方式强子化,将为 QCD 微扰与非微扰界面的研究及非微扰 QCD 动力学的探索提供重要信息. 在文献[4-7]中发现,为突出 CS 连接与 SC 连接(即 JETSET 中的标准连接)导致的强子末态差别,即使假定 CS 几率为 100%,与已有的实验也不矛盾,只有某些特选事例中的某些特定观察量才能对此作出鉴别<sup>[7]</sup>. 较早认为 CS 的几率为  $\sim 1/(N_c^2 - 1) = 1/8$ <sup>[8]</sup>,这实际上是  $n = 2$  时不考虑干涉项的结果;文献[4]虽对 CS 进行过深入研究,却未给出具体的计算. 在第 4 节将会看到,干涉项使这一数值几乎增大了一倍,约为 24%,因此干涉项的影响非常重要.

为在清洁背景下进一步检验 QCD 在内的标准模型和发现新物理,国际上正积极筹建  $e^+e^-$  TeV 级的 Linear Collider (TSLC),在这种质心能量下,平均胶子数  $\langle n \rangle$  可达几十,色分离的几率有可能很大.

本文在文献[3,4]基础上进一步研究 SC 与 CS 两种色连接几率随  $n$  变化的起因与趋势,特别是干涉

2002-10-14 收稿

\* 国家自然科学基金(10075031, 10205009)资助

项的影响. 第 2 节给出计算 2 种色连接几率的公式及其干涉项的定义, 其中颜色因子的正负决定干涉项对几率的影响趋势; 第 3 节以  $n = 2$  为例, 对颜色因子作了深入分析, 清楚看出正是 CS 和 SC 中干涉项颜色因子符号的正和负, 导致两者几率的进一步增和减; 干涉项的动量部分则决定增减的幅度. 第 4 节以  $\sqrt{S} = 91\text{GeV}$  ( $Z^0$  共振) 下的  $q\bar{q} + ng$  系统为例, 给出干涉项动量部分的计算结果, 并从中分析研究其随截断改变的原因, 确定合理的截断范围. 第 5 节是总结与讨论.

## 2 色连接几率中的干涉项

当  $n$  增多时, 可供末态部分子选择的连接方式迅速增多, 除 JETSET 中标准的惟一 SC 方式外, 还有许多其它的连接方式, 如  $n$  个胶子形成一个色单态, 夸克与反夸克形成另一个色单态,  $\dots, (n - k)$  个胶子形成一个色单态, 夸克、反夸克与其余的  $k$  ( $k = 1, 2, \dots, n - 2$ ) 个胶子形成另一个色单态等等. 对应这种 CS 连接的迅速增多, SC 的几率就会减小.

借助色等效哈密顿量  $H_c^{[9]}$ , 可以由 PQCD 计算  $e^+e^- \rightarrow q\bar{q} + ng$  过程中部分子末态的各种色连接的几率. 从初态  $|0\rangle$  到某一种颜色末态  $|f\rangle$  的跃迁矩阵元为  $m_f = \langle f | H_c | 0 \rangle$ , 其中  $H_c$  的表达式为:

$$H_c = \sum_P (1/\sqrt{2})^n \text{Tr}(Q^+ G_1^+ G_2^+ \dots G_n^+)^P D^P, \quad (1)$$

式中  $P$  代表  $(1, 2, \dots, n)$  的某一种排列,  $D^P$  是夸克、反夸克和  $n$  个胶子动量的函数,  $(Q^+)_i^j \equiv \Psi_i^+ \Psi_j^+$  是夸克反夸克色产生算符构成的 9 维可约张量,  $G_u^+ \equiv \Psi_u^+ \Psi_u^+ - \Psi_u^+ \Psi_u^+ E/3$  是胶子  $u$  的色产生算符构成的 8 维不可约张量. 据此得到本文用到的  $n$  为 2, 3 的 SC 几率表达式分别为<sup>[3]</sup>

$$P_{SC}(n = 2) = \frac{4.45 \int dR (|D^{12}|^2 + |D^{21}|^2) + C_1^{SC} \int dR \sum_{P \neq P'} D^P \cdot D^{P'}}{\frac{16}{3} \int dR (|D^{12}|^2 + |D^{21}|^2) - \frac{2}{3} \int dR \sum_{P \neq P'} D^P \cdot D^{P'}}, \quad (2)$$

$$P_{SC}(n = 3) = \frac{5.47 \int dR \sum_P |D^P|^2 + C_1^{SC} \int dR \sum_{P \neq P'} D^P \cdot D^{P'}}{\frac{64}{9} \int dR \sum_P |D^P|^2 - \frac{8}{9} \int dR \sum_{P \neq P'} D^P \cdot D^{P'}}, \quad (3)$$

$n > 3$  的 SC 几率有着类似形式;  $n = 2$  时 CS 的几率表达式为<sup>[10]</sup>

$$P_{CS}(n = 2) = \frac{\frac{2}{3} \int dR (|D^{12}|^2 + |D^{21}|^2) + C_1^{CS} \int dR \sum_{P \neq P'} D^P \cdot D^{P'}}{\frac{16}{3} \int dR (|D^{12}|^2 + |D^{21}|^2) - \frac{2}{3} \int dR \sum_{P \neq P'} D^P \cdot D^{P'}}, \quad (4)$$

$n > 2$  的 CS 几率有着类似形式. 以上各式中分母分别对应  $n = 2, 3$  的  $e^+e^- \rightarrow q\bar{q} + ng$  过程树图近似下的总截面, 分子则是 SC 或 CS 的截面(见文献[2]),  $dR$  是不变相空间积分元. 分子、分母中的第二项即为本文所要研究的干涉项; 与之对应, 第一项就称为非干涉项.

干涉项包含两部分: 积分号前面的系数为颜色因子, 来源于  $SU_c(3)$  的  $T^a$  ( $T^a = \lambda^a/2, a = 1, 2, \dots, 8$ , 表示 8 种胶子的颜色,  $\lambda^a$  为 Gell-mann 矩阵) 矩阵. 例如式 (2) 分母中干涉项的颜色因子为  $\sum_{i,j=1}^3 \sum_{a_1, a_2=1}^8 [(T^{a_1} T^{a_2})_{ji} \cdot (T^{a_2} T^{a_1})_{ji}^*] = -2/3$ . 文献[3, 10] 已给出式 (2), (4) 分子中干涉项的颜色因子为

$$C_1^{SC}(n = 2) = -1.55, C_1^{CS}(n = 2) = 2/3.$$

(2) — (4) 式中的  $\int dR \sum_{P \neq P'} D^P \cdot D^{P'}$  为动量部分, 其中  $D^P$  的表达式需要根据  $e^+e^- \rightarrow q\bar{q} + ng$  的树图计算得到. 当  $n$  相同时, 不同色连接方式的干涉项动量部分相同.

为便于比较, 以下列出未考虑干涉项的结果<sup>[3, 10]</sup>:

$$\begin{aligned} P_{SC}(n = 1) &= (32/9)/4 \approx 89\%, \\ P_{SC}(n = 2) &= 4.45/(16/3) \approx 83\%, \\ P_{SC}(n = 3) &= 5.47/(64/9) \approx 77\%, \\ P_{SC}(n = 4) &= 6.83/(256/27) \approx 72\%, \\ P_{CS}(n = 2) &= (2/3)/(16/3) = 1/8, \end{aligned} \quad (5)$$

它显示出一个明显趋势: 即随着胶子数  $n$  的增大,  $P_{SC}$  减小, 与本节开头的定性分析一致. 问题是: 考虑干涉项后, 这一趋势被加强还是减弱, 甚至是逆转呢? 下面就此进行详细研究.

## 3 干涉项中颜色因子的来源和特点

下面以  $n = 2$  为例剖析  $e^+e^- \rightarrow q\bar{q} + ng$  干涉项颜色部分的来源和性质. 对颜色指标求和前的颜色因子为  $c_{int}$ :

$$c_{int} = (T^{a_1} T^{a_2})_{ji} \cdot (T^{a_2} T^{a_1})_{ji}^* = (T_{jm}^{a_1} T_{mi}^{a_2}) \cdot (T_{ji}^{a_2} T_{ii}^{a_1})^*$$

$$= (T_{jm}^{a_1} T_{il}^{a_1}) \cdot (T_{mi}^{a_2} T_{lj}^{a_2}), \quad (6)$$

由于  $c_{im} \neq 0$  才对于干涉项有贡献, 导致对矩阵  $(T^1, T^2)$  的选取及整个部分子系统的颜色指标组合  $(i, j, m, l)$  有严格限制. 8 个  $T$  矩阵中  $(T^3, T^8)$  为对角 (以  $G_D$  表示), 其余 6 个均为非对角 (以  $G_{ND}$  表示),  $c_{im} \neq 0$  有以下 3 种情况:

- 1)  $(T^1, T^2)$  均来自于  $G_D, (T_{jm}^{a_1} T_{il}^{a_1}) \cdot (T_{mi}^{a_2} T_{lj}^{a_2}) \neq 0 \Rightarrow j = i = m = l$ ;
- 2)  $(T^1, T^2)$  均来自于  $G_{ND}, (T_{jm}^{a_1} T_{il}^{a_1}) \cdot (T_{mi}^{a_2} T_{lj}^{a_2}) \neq 0 \Rightarrow j = i$  及  $m = l$  但  $j \neq m$ ;
- 3)  $(T^1, T^2)$  分别来自于  $G_{ND}, G_D, (T_{jm}^{a_1} T_{il}^{a_1}) \cdot (T_{mi}^{a_2} T_{lj}^{a_2}) \neq 0 \Rightarrow j = l$  及  $m = i$  但  $j \neq m$

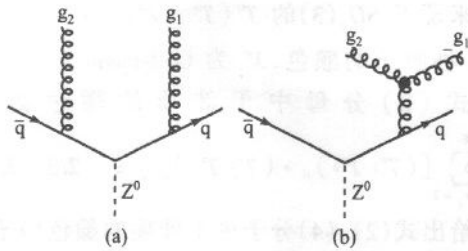


图 1  $e^+e^- \rightarrow q\bar{q} + 2g$  过程的树图

无三胶子顶点图(a)和三胶子顶点图(b),

其它 6 个图可由变换夸克胶子耦合顶点位置得到.

由  $[T^1, T^2] = if^{a_1 a_2 a_3} T^3$ , 三胶子顶点图可等效分解为 2 个无三胶子顶点图, 则以图 1(a) 为代表与以上 3 种情况相联系, 发现:

第一种情况.  $j = i = m = l$  意味存在 2 种色连接方式: CS 和 SC. 但由于此时存在颜色相同的胶子, 所以 SC 的连接顺序不惟一, 见图 2(a)~(c). 总的颜色因子为  $C_{im}^1 = \left(\frac{1}{2}\right)^4 \cdot \left(\frac{16}{3}\right) = 1/3$ .

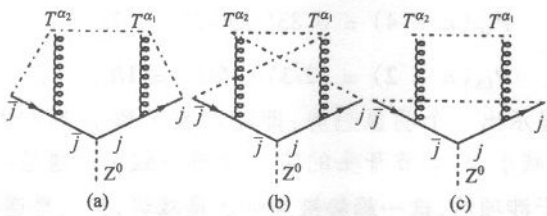


图 2 两种连接顺序的 SC(a)(b)和 CS(c),

其中点划线代表色连接方式

第二种情况.  $j = i$  及  $m = l$  但  $j \neq m$  意味这两胶子来自  $SU(3)$  的同一个  $SU(2)$  子群, 可以相互交换并发生干涉. 它们与  $j\bar{q}q$  之间也存在 2 种色连接方式: SC 和 CS, 与图 2(a), (c) 类似, 差别只是颜色指标组合不同. 此时  $c_{im} = \left(\frac{1}{2}\right)^4 \cdot (\pm 1) = \pm 1/16$  (当

$a_1 = a_2$  时为正, 反之为负), 总的颜色因子  $C_{im}^1 = 0$ , 对于干涉项无贡献. 当 2 个胶子均来自于  $G_{ND}$  但不属于同一个  $SU(2)$  子群时, 只能形成 SC, 且不能互换, 所以只会对非干涉项有贡献.

第三种情况.  $j = l$  及  $m = i$  但  $j \neq m$  意味仅有一种色连接方式即 SC, 类似图 2(a). 总的颜色因子为  $C_{im}^1 = \left(\frac{1}{2}\right)^4 \cdot (-16) = -1$ . 以上 3 个因子相加为  $-2/3$ , 与总截面干涉项的颜色因子  $C_{INT} = \sum_{i,j=1,3}^8 \sum_{a_1, a_2=1}^8 [(T^1 T^2)_{ji} \cdot (T^2 T^1)_{ji}^*] = -2/3$  相符.

下面分析不同色连接对应的颜色因子对干涉项的影响. 由于 2) 中总颜色因子为 0, 所以只需考虑 1), 3) 两种情况的贡献.

由于 3) 仅有一种 SC 方式, 所以  $C_{im}^1$  全部对 SC 的颜色因子有贡献; 而 1) 存在 CS 和 SC 两种连接方式, 则仅是  $C_{im}^1$  的一部分对 SC 颜色因子有贡献, 且  $C_{im}^1$  与  $C_{im}^1$  符号相反, 绝对值也远小于  $C_{im}^1$ , 所以出现于 SC 截面中的颜色因子应该是负值; 而对 CS 连接的干涉项颜色部分有贡献的, 只有 1) 一种情况,  $C_{im}^1$  符号为正, 这就决定 CS 截面中的颜色因子为正值. 由于下面的计算表明干涉项动量部分为正, 因此相对于 (5), 负的颜色因子使干涉项进一步减小了 SC 的几率, 而正的颜色因子使干涉项进一步增大了 CS 的几率.

### 4 干涉项动量部分的计算与讨论

干涉项动量部分的计算有 2 种方法可以采用: 一是传统的矩阵元计算, 得到  $e^+e^- \rightarrow q\bar{q} + ng$  过程总振幅的平方  $|M|^2 = \left| \sum_{i=1}^8 M_i \right|^2$  后将其整理成与  $P_{SC}$  的分母类似的被积函数的形式, 如 (2) 中的  $16/3 (|D^{12}|^2 + |D^{21}|^2) - 2/3 (D^{12} \cdot D^{21*} + D^{12*} \cdot D^{21})$ ; 二是软胶子近似法<sup>[3]</sup>. 在此方法中, 色等效哈密顿量可表示为

$$\begin{aligned} |H_c\rangle &\sim g_s^n \epsilon_{\mu_1} \epsilon_{\mu_2} \cdots \epsilon_{\mu_n} \sum_p (1/\sqrt{2})^n \times \\ &\left\{ |\text{Tr}(Q G_{P(1)} G_{P(2)} \cdots G_{P(n)})\rangle \cdot J^{\mu_1}(k_1; p, p') \times \right. \\ &\left. J^{\mu_2}(k_2; k_{2h}, k_{2c}) \cdots J^{\mu_n}(k_n; k_{nh}, k_{nc}) \right\} \quad (7) \end{aligned}$$

其中,  $J^{\mu_i}(k_i; k_{ih}, k_{ic}) \equiv \frac{k_{ih}^{\mu_i}}{k_i \cdot k_{ih}} - \frac{k_{ic}^{\mu_i}}{k_i \cdot k_{ic}}$ , 其中  $k_{ih}$

和  $k_i$  中的  $i_h$  和  $i_e$  由以下程序确定: 在序列  $(0, P(1), P(2), \dots, P(n), 0)$  (起始和末尾的 0 分别代表  $q$  和  $\bar{q}$ ) 中, 找到  $i$  的位置, 然后去掉序列中所有大于  $i$  的数, 则  $i$  左边最相邻的数即为  $i_h$ , 右边最相邻的数即为  $i_e$ .  $k_i$  是第  $i$  个胶子的四动量. 这样就可直接得到  $H_c$  中  $D^p$  的具体表达式. 两种方法中, 前者比较精确, 但当  $n$  增多 ( $n > 2$ ) 时, 计算将极为繁琐; 后者是近似方法, 适用更多胶子的情况. 下面用这两种方法分别对  $n = 2$  的情况进行计算、比较, 以验证第二种方法的有效性; 对  $n = 3$  将采用软胶子近似法.

使用第一种方法时, 对胶子的极化求和采用了协变规范, 需要包括“鬼”图的贡献; 第二种方法则采用物理规范, 该规范下的传播子形式为:  $-i \left( g_{\mu\nu} - \frac{n_\mu k_\nu - n_\nu k_\mu}{n \cdot k} \right) / k^2$  ( $n = \hat{q} = q/|q|$ , 其中  $q$  是夸克的四动量). 此外, 树图计算需要引入截断来消除红外发散. 这里采用的截断为  $y_{cut} = (P_i + P_j)^2 / S$ , 物理上它还对应末态分子的分辨率. 本文以  $\sqrt{S} = 91\text{GeV}$  ( $Z^0$  共振) 为例进行讨论. 如所周知,  $Z^0 \rightarrow q\bar{q} + ng$  的讨论也适合能量大于  $91\text{GeV}$  时, 双  $W$ 、双  $Z$ 、双 Higgs、 $Z$  与 Higgs、 $Z$  与  $\gamma$ 、Higgs 与  $\gamma$  等过程中一个色单态源 (如上述的 Higgs,  $W$  等) 衰变得到的  $q\bar{q} + ng$  系统色连接情况<sup>[11]</sup>. 计算结果与分析见图 3, 4.

图 3 表明:

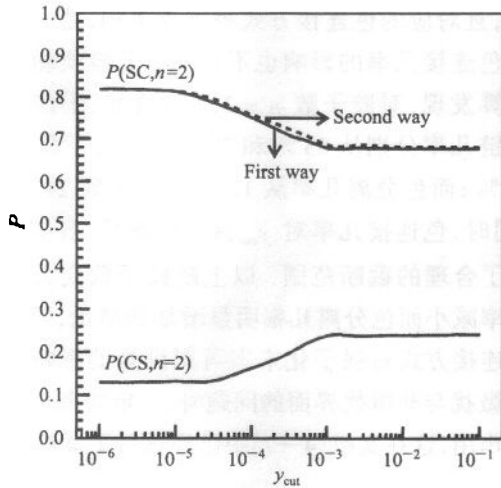


图 3 SC 和 CS 几率随  $y_{cut}$  的变化 ( $n = 2$ ), 其中实线和虚线代表第一、二种方法的结果.

$$r_{tri} \equiv \frac{\frac{16}{3} \int dR \cdot dd_3 - \frac{2}{3} \int dR \cdot dd'_3}{\sigma_{tree}} \frac{\frac{16}{3} \int dR \cdot dd_3 - \frac{2}{3} \int dR \cdot dd'_3}{\frac{16}{3} \int dR (|D^{12}|^2 + |D^{21}|^2) - \frac{2}{3} \int dR (D^{12} \cdot D^{21*} + D^{21*} \cdot D^{12})}, \quad (8)$$

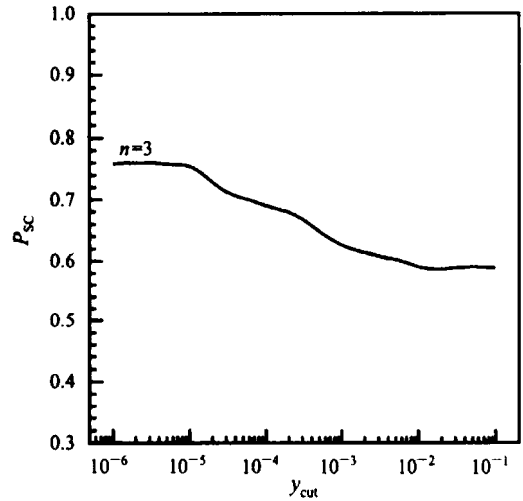


图 4 SC 几率随截断的变化 ( $n = 3$ ).

1) 第一、二两种方法得到的数值结果相差很小, 说明近似方法十分有效.

2) 干涉项的动量部分使 SC 几率从 83% 最多能下降到 67%, 而 CS 几率从 12.5% 最大可增加到 24%, 说明干涉项对色连接几率的影响不容忽视.

3) 色连接几率对  $y_{cut}$  有很强的依赖性: 在总体趋势不变的情况下,  $y_{cut}$  由大变小时, SC 几率相对增加, 而 CS 几率相对减小; 且  $y_{cut}$  趋于 0 时色连接几率趋于不考虑干涉项时的数值.

对  $e^+e^- \rightarrow q\bar{q} + g_1g_2$  过程的树图进行分析, 可以帮助理解色连接几率对  $y_{cut}$  的依赖性以及确定合理的  $y_{cut}$  范围. 8 个树图中有 2 个是三胶子顶点图, 这种图由于其 2 个末态胶子从一个母胶子劈裂而来, 所以只能处于色八重态, 只能与  $q\bar{q}$  形成 SC, 而不能形成 2 个胶子组成子单态集团的 CS. 其它图则 2 种方式均有可能. 三胶子顶点图有 2 个中间传播子: 费米子传播子和玻色子传播子; 而其它图所含的传播子均为费米子传播子, 见图 1(a), (b). 玻色子传播子与费米子传播子的一个显著区别就是: 前者是  $\sim 1/p^2$  量级而后者是  $\sim 1/p$  量级. 因此, 当  $y_{cut}$  小到一定程度后, 8 个树图中三胶子顶点图对总截面的相对贡献将反常增大, 导致 SC 几率增加而 CS 几率减小.

为验证这一分析, 定义一个量  $r_{tri}$  代表三胶子顶点图对总截面的相对贡献:

其中  $dd'$ ,  $dd_3$  分别是三胶子顶点图对干涉项和非干涉项动量部分的被积函数 ( $D^{12} \cdot D^{21*} + D^{12*} \cdot D^{21}$ ) 和 ( $|D^{12}|^2 + |D^{21}|^2$ ) 的贡献.

表 1 三胶子顶点图对总截面的相对贡献

$y_{cut}$	$1e-2$	$1e-3$	$1e-4$	$1e-5$	$1e-6$
$r_{in}$	0.650	0.592	0.765	0.810	0.852

$r_{in}$  随  $y_{cut}$  的变化关系见上表.  $r_{in}$  在  $y_{cut} \leq 10^{-3}$  范围内随  $y_{cut}$  减小而增大, 说明三胶子顶点图对总截面的相对贡献确实增大了, 由于其只能形成 SC, 不能形成 CS, 从而使 SC 和 CS 几率相应地增加和减小. 进一步分析发现,  $r_{in}$  在  $1e-4$  到  $1e-3$  范围内有一个下降, 图 3 中的 3 条曲线也是如此, 说明三胶子顶点图相对其它图的贡献是造成干涉项动量部分随  $y_{cut}$  变化的主要因素.

关于合理的  $y_{cut}$  范围,  $P_{sc}$  (或  $P_{cs}$ ) 在图 3 中有 2 段基本平稳的曲线:  $y_{cut} \leq 10^{-5}$  和  $y_{cut} \geq 10^{-3}$ , 应该以  $y_{cut} \geq 10^{-3}$  范围内的曲线为准, 即取  $y_{cut} \geq 10^{-3}$  为合理的截断范围. 这是因为根据以上分析,  $y_{cut} \leq 10^{-5}$  内几乎完全是三胶子顶点图起作用, 其它 6 个图对干涉项的贡献极小, 干涉项不完整.

为何两种色连接的几率增减趋势总是相反呢? 这里其实存在一个近似的互补关系.  $q\bar{q} + g_1 g_2$  的末态可形成 2 个 SC 和一个 CS:

$$\begin{aligned} \{|f_1\rangle &= 3^{-3/2} |1_{q_1} 1_{12} 1_{2\bar{q}}\rangle, \\ |f_2\rangle &= 3^{-3/2} |1_{q_2} 1_{21} 1_{1\bar{q}}\rangle\} \langle f_1 | f_2 \rangle = 1/9, \\ |f_{cs}\rangle &= \frac{1}{2\sqrt{6}} |\text{Tr}(G_1 G_2) 1_{q\bar{q}}\rangle. \end{aligned}$$

将其中的 SC 正交化后, 得到对称和反对称 2 个正交态:

$$\begin{aligned} |f'_1\rangle &= \frac{3}{\sqrt{20}} (|f_1\rangle + |f_2\rangle), |f'_2\rangle = \\ &= \frac{3}{4} (|f_1\rangle - |f_2\rangle). \end{aligned}$$

由  $|f'_1\rangle, |f'_2\rangle, |f_{cs}\rangle$  可分别得到  $P_{sc}$  和  $P_{cs}$ <sup>[3,10]</sup>. 由于  $\langle f_{cs} | f'_2 \rangle = 0$ , 则  $q\bar{q} + g_1 g_2$  末态中 SC 和 CS 重迭的几率可由下式得到:  $P_{sc}^{f'_1} \cdot |\langle f_{cs} | f'_1 \rangle|^2 + P_{sc}^{f'_2} \cdot |\langle f_{cs} | f'_2 \rangle|^2 \approx 0.048$ , 其中  $P_{sc}^{f'_1}, P_{sc}^{f'_2}$  是  $|f'_1\rangle$  和  $|f'_2\rangle$  的几率. 以上只给出未考虑干涉项的结果, 由本节

前面的分析, 考虑干涉项后的值将减小, 所以两者重迭的几率必小于 0.048.  $P_{sc}$  和  $P_{cs}$  直接相加得  $83\% + 12.5\% = 95.5\% \approx 1$ , 即近似互补, 藉此很容易理解 SC 和 CS 几率受干涉项影响相反以及随  $y_{cut}$  变化相反的现象, 且与第 3 节干涉项颜色部分的分析自洽.

图 4 对应的  $n = 3$  时 SC 几率随截断的变化表明, 干涉项也使 SC 几率进一步下降 (从 77% 到 58%), 且  $y_{cut}$  由大变小 SC 几率同样相对增加, 并有 2 段基本平稳的曲线:  $y_{cut} \leq 10^{-5}$  和  $y_{cut} \geq 10^{-2}$ , 同理以  $y_{cut} \geq 10^{-2}$  范围内的曲线为准.

## 5 总结

$e^+e^- \rightarrow q\bar{q} + ng$  过程中, 末态部分子以何种色连接方式进行强子化, 是一个很重要的问题. 在不考虑干涉项的情况下, 文献[3,4]通过对颜色数目有限 ( $N_c = 3$ ) 的研究, 定性地得到了色单态链几率随胶子数增加而减小, 色分离几率随之增加的规律. 本文在此基础上, 通过 PQCD 计算进一步研究了干涉项对不同色连接方式 (色单态链和色分离态) 几率的影响. 色连接几率中的干涉项由两部分组成, 颜色部分包含: 1) 均来自  $G_D$ ; 2) 来自  $G_{ND}$  中同一个  $SU(2)$  子群; 3) 分别来自  $G_{ND}$  和  $G_D$  三种情况. 相同  $n$  下, 干涉项动量部分相同, 但每种情况的颜色因子不同, 且对应的色连接方式种类也不同, 使干涉项对不同色连接几率的影响也不相同. 干涉项动量部分的计算发现, 对胶子数  $n = 2, 3$  的情况, 干涉项使色单态链几率分别从 83% 和 77% 进一步下降到 67% 和 58%; 而色分离几率从 12.5% 增大到 24% ( $n = 2$ ); 同时, 色连接几率对  $y_{cut}$  具有依赖性, 我们分析并确定了合理的截断范围. 以上随胶子数变大色单态链几率减小而色分离几率明显增加的结论, 要求在通过色连接方式对强子化末态可观测量的影响来研究 QCD 微扰与非微扰界面的问题时, 一定要考虑色分离态的作用, 这在文献[4—7]中已经进行了详细研究.

作者感谢王群博士、司宗国博士及课题组其他成员的有益讨论.

## 参考文献 (References)

- 1 Gustafson G. Z. Phys., 1982, **C15**:155
- 2 WANG Qun, XIE Qu-Bing, LI Shi-Yuan. Commun. Theor. Phys., 2000, **34**:491
- 3 WANG Qun et al. Phys. Rev., 2001, **D64**:012006
- 4 WANG Qun, Gosta Gustafson, XIE Qu-Bing. Phys. Rev., 2000, **D62**:054004
- 5 SHAO Feng-Lan, XIE Qu-Bing. HEP & NP, 2001, **25**:710 (in Chinese)  
(邵凤兰, 谢去病. 高能物理与核物理, 2001, **25**:710)
- 6 SHAO Feng-Lan, XIE Qu-Bing. HEP & NP, 2002, **26**:779 (in Chinese)
- 7 LI Shi-Yuan, SHAO Feng-Lan, XIE Qu-Bing et al. Phys. Rev., 2002, **D65**:077503
- 8 Bjorken J D, Brodsky S J, LU Hung-Jung. Phys. Lett., 1992, **B286**:153
- 9 WANG Qun, XIE Qu-Bing. HEP & NP, 1995, **19**:1100 (in Chinese)  
(王群, 谢去病. 高能物理与核物理, 1995, **19**:1100)
- 10 WANG Qun, XIE Qu-Bing, SI Zong-Guo. Phys. Lett., 1996, **B388**:346
- 11 LI Shi-Yuan et al. Phys. Lett., 1999, **B458**:370; Valery A. Khoze, Torbjorn Sjostrand. Eur. Phys. J., 1999, **C6**:271

## Influence of Interference Terms on Probability of Color Connections among Partons in $e^+e^- \rightarrow q\bar{q} + ng$ Process\*

JIN Yi XIE Qu-Bing LI Shi-Yuan

(School of Physics and Microelectronics, Shandong University, Ji'nan 250100, China)

**Abstract** Large  $N_c$  approximation is adopted in popular  $e^+e^-$  event generators where the production probability of singlet chain states is 100% and that of color separate states is 0. In the real world  $N_c = 3$ , we investigate the origin and character of color and kinematics aspects in interference terms. We find that the production probability of color singlet chain states decreases from 83%, 77% to 67%, 58% for  $q\bar{q} + 2g$  and  $q\bar{q} + 3g$  system respectively after considering the interference terms. Especially, the production probability of color separate states increases to twice of that without interference terms for  $q\bar{q} + 2g$ . Hence when  $n$  is larger, we can expect that the production probability of singlet chain states will be far less than 1 and that of color separate states will significantly increase when  $n$  is larger.

**Key words** number of colors, singlet chain states, color separate states, cutoff, tri-gluon vertex